

مطالعه‌ی میدانی مقایسه‌ی رفتار پایه‌های سنگریزه‌بی کوبشی با پایه‌های بتنی در جاریز تحت بارگذاری فشاری

بهمن نیرومند (استادیار)

گروه مهندسی عمران، دانشگاه خلیج فارس

پژوهشی عرضه شده، (پیاپی: ۱۳۹۴/۰۵-۰۶)، دوری ۲، شماره ۲، تیری ۱۳۹۴/۰۷/۰۱ ص.

در این مطالعه، رفتار پایه‌های بتنی درجا و پایه‌های سنگریزه‌بی کوبشی کوتاه به عنوان دو نوع پی نیمه عمیق با مقیاس کوچک در محل به صورت مقایسه‌بی بررسی شده‌اند. به همین منظور، در گروه پایه‌های آزمایشی مقدار با قطر ۳۸۱ و طول‌های مختلف در محل ساخته و آزمایش شده‌اند. محل انجام آزمایش‌ها، منطقه‌ی ویژه‌ی اقتصادی بوشهر و ناحیه‌ی آزمایشی شامل یک لایه لای طراحي و مدول سختی پیشتری ۱ متر بر روی رس آبرفتی اشباع بوده است. نتایج نشان داده‌اند تا مادامی که انتهای پایه‌های بتنی به لایه نرم‌تر زیرین تزیک با وارد نشده‌اند، بار حد طراحی و مدول سختی پیشتری در مقایسه‌ی پایه‌های سنگریزه‌بی کوبشی دارند. همچنین براساس این نتایج، نتیجه‌ی بالای پایه‌های بتنی در حد طراحی بیشتر از مقادیر نظری در پایه‌های سنگریزه‌بی کوبشی است.

واژگان کلیدی: پایه‌های سنگریزه‌بی کوبشی، پایه‌های بتنی درجا، بهسازی خاک،
بار حد طراحی، نتیجه، مدول سختی، انتقال بار.

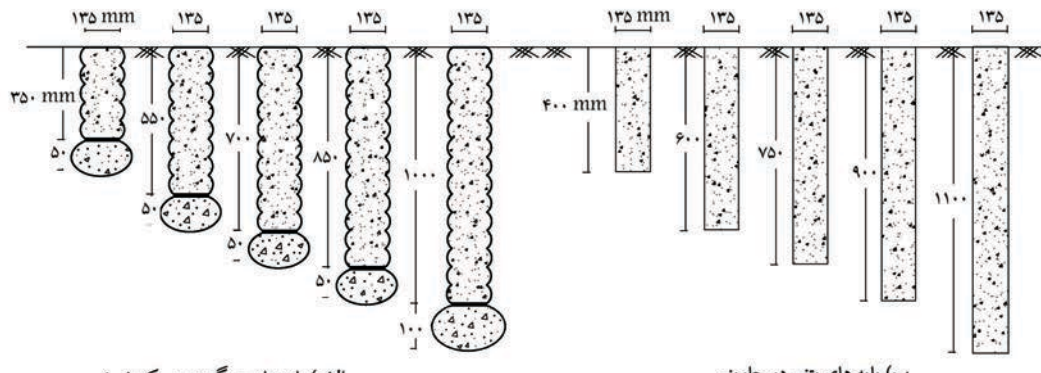
bahman-ni@yahoo.com

۱. مقدمه

طی دو دهه‌ی اخیر، با توسعه‌ی شهرنشینی و افزایش نبح استفاده از اراضی نامرغوب در حاشیه‌ی شهرها، تمایل به استفاده از روش‌های مختلف بهسازی خاک در فضای حرفيه و انجام پژوهش‌های کاربردی در این زمینه بیشتر شده است. استفاده از پی‌های نیمه عمیق در محل‌هایی با سیستم خاک دولایه و استقرار خاک ضعیف با ضخامت کم بر روی خاک قوی، یک گزینه‌ی اقتصادی برای تقویت خاک به شمار می‌رود. با این وجود، رفتار این نوع پی‌ها در سیستم خاک دولایه و استقرار خاک قوی با ضخامت کم بر روی خاک ضعیف، کمتر مورد ارزیابی قرار گرفته است. عملکردهای پایه‌های سنگریزه‌بی کوبشی و پایه‌های بتنی در جاریز با طول کوتاه به عنوان پی‌های نیمه عمیق، شامل افزایش ظرفیت باربری و کاهش نتیجه‌ی سطحی و بسترها نزد زیر دیوارهای خاک مسلح و خاکریزها، تثبیت شیب‌های خاکی و کنترل زمین‌لغزه و کاهش پتانسیل روانگلایی خاک است. طی سال‌های اخیر از پایه‌های سنگریزه‌بی کوبشی (RAPS) به طور فرازینده‌بی برای کاهش نتیجه‌های غیریکنواخت، افزایش ظرفیت باربری و سختی بسترها نزد در پژوهه‌های مختلف حمل و نقل و ساختمان‌سازی استفاده شده است.^{۱-۲} روند ساخت پایه‌های سنگریزه‌بی کوبشی با مقیاس واقعی شامل سه مرحله‌ی حفاری چاه، ایجاد حباب مقاوم انتهایی و اجرای میله‌ی پایه است. حباب مقاوم انتهایی توسط یک یا دو لایه شن با دانه‌بندی یکنواخت و میله‌ی پایه توسط لایه‌های از شن خوب دانه‌بندی شده به ضخامت ۰/۳ متر و کوبیدن هر لایه با چکش هیدرولیکی

* نویسنده مسئول

تاریخ: دریافت ۷/۵/۱۳۹۲، اصلاحیه ۱/۱۳۹۳، پذیرش ۱/۳/۱۳۹۳.



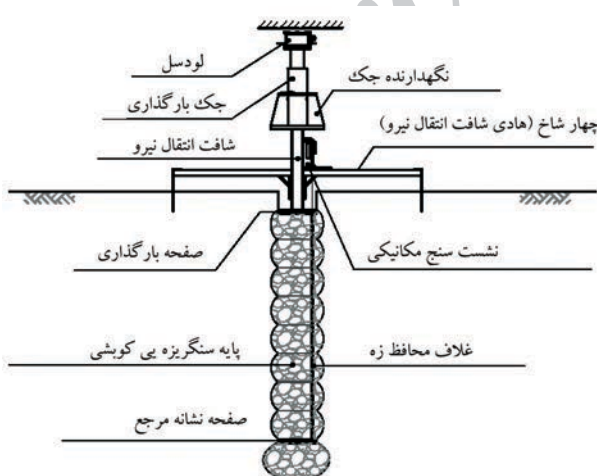
شکل ۱. جزئیات اندازه‌گذاری شده‌ی پایه‌های آزمایشی.

است. شکل ۲، تصویر سیستم متحرک گاری و ریل‌ها روی مسیر آماده‌سازی شده را نشان می‌دهد. سیستم اندازه‌گیری داده‌ها در پایه‌های سنگریزه‌بی کوبشی مختص به بار و نشست بالای پایه و نشست انتهای پایه و در پایه‌های بتنی مختص به بار و نشست بالای پایه بوده است. علاوه بر این، قطر حفره پس از حفاری و پس از ساخت پایه‌های سنگریزه‌بی کوبشی و ضخامت لایه‌های سنگریزه‌بی در هر مرحله از کوشش اندازه‌گیری شده است. شکل ۳، جزئیات سیستم‌های بارگذاری و اندازه‌گیری بار و نشست در پایه‌های سنگریزه‌بی کوبشی و پایه‌های بتنی در جاریز را به طور شماتیک

به دست آمده از آزمایش بارگذاری روی حباب مقاوم انتهایی پایه تعیین شده‌اند. در این نوشتار، مقادیر بار حد طراحی، نشست بالای پایه در حد طراحی، نسبت بار انتهای به بار اعمالی در بالای پایه در حد طراحی و مدول سختی پایه در دو نوع بی نیمه عمیق با یکدیگر مقایسه شده‌اند. علاوه بر این، نتایج ارزیابی قابلیت و میزان دقیق راه حل‌های تحلیلی موجود در تخمین مشخصه‌های نظر حد طراحی پایه‌های آزمایشی ارائه شده‌اند.



شکل ۲. تصویر سیستم متحرک گاری و ریل‌ها روی مسیر آماده‌سازی شده.



شکل ۳. جزئیات شماتیک سیستم‌های بارگذاری و اندازه‌گیری بار و نشست در پایه‌های سنگریزه‌بی کوبشی و پایه‌های بتنی در جاریز.

۲. ساخت و ابزارگذاری پایه‌ها

طی این پژوهش، ۵ پایه‌ی مفرد بتنی در جاریز با قطر ثابت ۱۳۵ میلی‌متر و طول‌های ۴۰۰، ۶۰۰، ۷۵۰، ۹۰۰ و ۱۱۰۰ میلی‌متر ساخته شده است. ساخت این پایه‌ها توسط حفاری محل پایه‌ها و بتن‌ریزی درون حفره، بدون هیچ‌گونه تراکم خاک معنی‌طی پایه‌ها انجام شده است. نحوه ساخت ۵ حفره با حباب سنگریزه‌بی مقاوم انتهایی و ۵ پایه‌ی سنگریزه‌بی کوبشی مفرد با قطر ثابت ۱۳۵ میلی‌متر و طول‌های ۴۰۰، ۶۰۰، ۷۵۰، ۹۰۰ و ۱۱۰۰ میلی‌متر تیز به خوبی در مراجع [۸] تشریح شده‌اند.

شکل ۱، جزئیات اندازه‌گذاری پایه‌های آزمایشی را در هر دو گروه پایه‌های سنگریزه‌بی کوبشی و پایه‌های بتنی در جاریز نشان می‌دهد.

فاصله‌ی پایه‌ها طوری در نظر گرفته شده بود که پایه‌های مجاور تأثیری در یکدیگر نداشته باشند. [۹] اندازه‌گیری‌های انجام شده در این آزمایش، مختص به پار وارد در بالای پایه (P_b)، نشست بالای پایه (δ_b) و نشست انتهای پایه (δ_e) در زمان‌های مشخص بوده است. به همین منظور در فاصله‌ی بین حباب انتهایی و پایه‌ی سنگریزه‌بی کوبشی، صفحه‌ی دایره‌بی از جنس نقلون هم قطر حفره با ضخامت ۱ سانتی‌متر قرار گرفت و توسط یک زه به نشست سنج مکانیکی در سطح زمین متصل و برای حرکت آزاد زه از یک غلاف با قطر ۱۲ میلی‌متر استفاده شد. [۸]

۳. سیستم بارگذاری و اندازه‌گیری

در این پژوهش، برای بارگذاری پایه‌های آزمایشی از ایده‌ی سیستم تیر واکنشی متحرک به صورت گاری و ریل استفاده شد تا ضمن افزایش سرعت انجام آزمایش‌های اقتصادی تر نیز باشد. مبنای این ایده، سیار بودن یک تکیه‌گاه محکم برای تحمل نیروی عکس العمل اعمالی از طرف جک بارگذاری بوده است. در این سیستم از ۴ ریل ۶ متری، که متناسب با پیش‌روی گاری به سمت جلو جایه‌جا می‌شدند، استفاده شده

جدول ۱. خلاصه‌ی خصوصیات فیزیکی و مکانیکی لایه‌های خاک در محل آزمایش.

خصوصیات خاک						SPT N	محدوده‌ی عمق (m)	سیستم طبقه‌بندی خاک (USCS)	ردیف
C_u (kPa)	φ' (deg.)	C' (kPa)	ω (%)	γ_{wet} (kN/m³)					
۱۸-۷۵***	۲۵**	۱-۲**	۲۷,۴-۳۰,۷	۱۷-۱۸,۹	۱۴-۱۶*	۰-۰,۱۵	FL	۱	
۷	۲۰	۵	۵۵,۵	۱۶,۴	۵-۷	۰,۱۵-۱,۱۵	ML	۲	
۱۴	۲۳	۵	۲۶,۸	۱۸,۳	۸-۱۲	۱,۱۵-۲,۵۵	CL	۳	
						۲,۵۵-۴,۱۵	CL	۴	

* آزمایش نفوذ استاندارد؛ ** آزمایش برش مستقیم در حالت زهکشی شده؛ *** آزمایش مقاومت فشاری تک محوری.

مهندسى لایه‌های تحت‌الارض در ناحیه‌ی آزمایشی را ارائه می‌دهد. جزئیات بیشتر نتایج در مرجع [۷] ارائه شده است.

۵. نتایج آزمایش بارگذاری پایه‌ها

در این پژوهش، آزمایش بارگذاری پایه‌های آزمایشی طبق استاندارد ASTM ۱۱۴۳ D- مربوط به بارگذاری شمع‌ها و به سبک کنترل تنش انجام شده است، که در آن بارگذاری هر پایه تا رسیدن نشست بالای پایه به حد $25/4$ میلی‌متر بوده است. پس از انجام آزمایش بارگذاری بر روی پایه‌های سنگریزه‌بی ساخته شده و ثبت داده‌های بار واردۀ در بالای پایه (P_t)، نشست بالای پایه (δ_t) و نشست انتهای پایه (δ_b) برای هر پایه، منحنی‌های $\delta_t - P_t$ و $\delta_b - P_t$ در یک دستگاه مختصات دکارتی ترسیم شده است. هدف از ترسیم دو منحنی $\delta_t - P_t$ و $\delta_b - P_t$ در یک دستگاه مختصات دکارتی علاوه بر تعیین بار حد طراحی، شناسایی رفتار حاکم بر پایه‌ی سنگریزه‌بی کوشی بوده است. [۸] به طور خاص، تغییرشکل خمره‌بی در قسمت فوقانی و نشست انتهای، دو رفتار حاکم بر پایه‌های سنگریزه‌بی کوشی هستند. عدم وجود خمیدگی در منحنی تنش اعمالی در بالای پایه نسبت به نشست انتهای پایه‌ی سنگریزه‌بی پس از تنش حد طراحی، نشان دهنده‌ی وقوع تغییرشکل خمره‌بی در قسمت فوقانی پایه است. نشست انتهای پایه نیز با مشاهده‌ی خمیدگی در منحنی تنش اعمالی در بالای پایه نسبت به نشست انتهای پایه‌ی سنگریزه‌بی پس از تنش حد طراحی مشخص می‌شود.

۱.۵. تنش فشاری اعمالی در بالای پایه‌ها

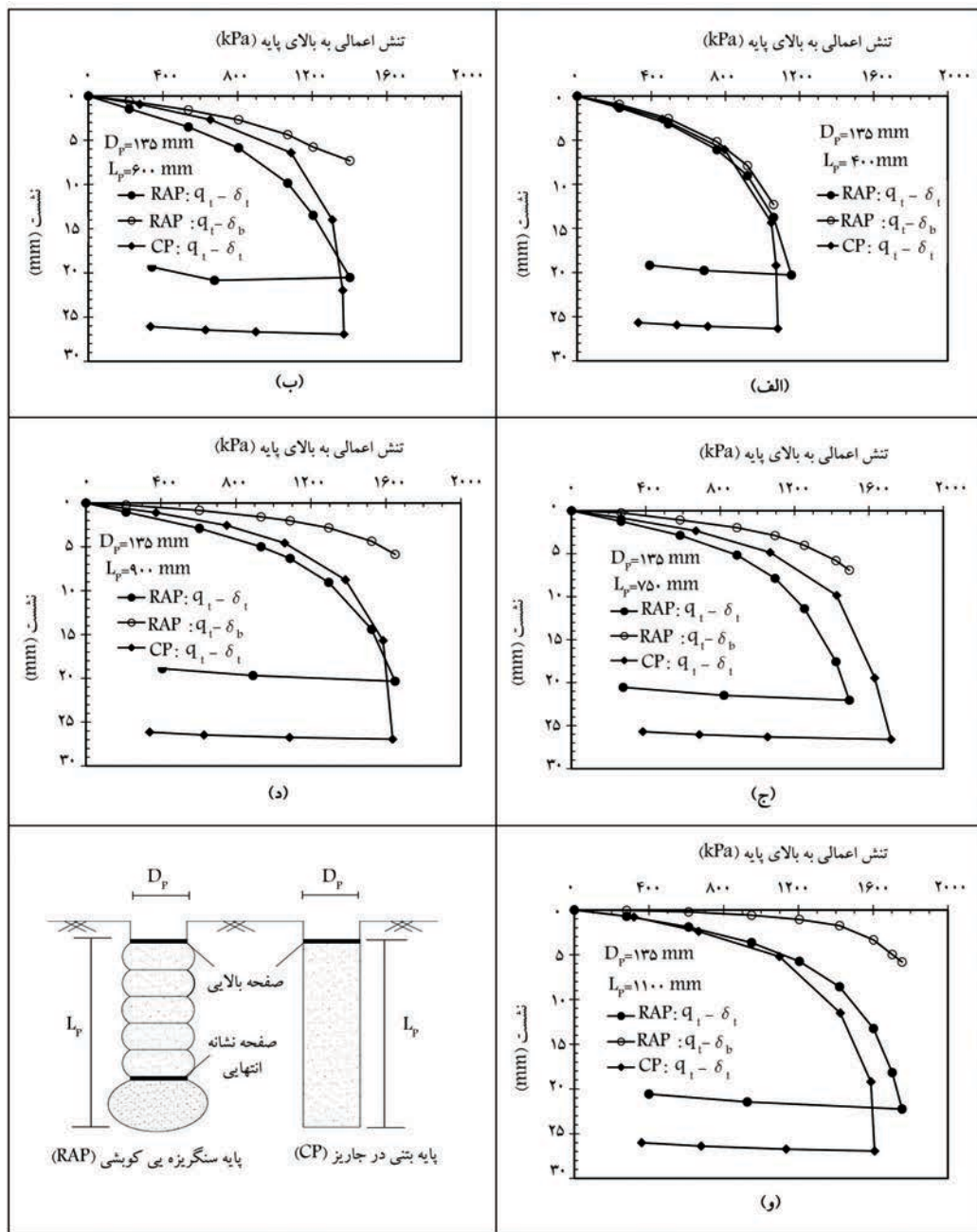
در شکل ۴، منحنی‌های $\delta_t - \delta_b - q_t$ و $\delta_b - q_t$ اندازه‌گیری شده در پایه‌های سنگریزه‌بی کوشی و همچنین منحنی‌های $\delta_t - q_t$ اندازه‌گیری شده در پایه‌های بتی در جاریز برای پایه‌های به قطر اتمی ۱۳۵ میلی‌متر و طول $۴,۰\text{m}$ ، $۷,۵\text{m}$ و $۱۱,۰\text{m}$ میلی‌متر نشان داده شده است. برای ترسیم منحنی‌های $\delta_t - \delta_b - q_t$ با $\delta_b - q_t$ به تقسیم بار اعمالی (P_t) به سطح مقطع پایه (A_P) می‌توان تنش اعمالی (q_t) را محاسبه کرد. بر مبنای نتایج ارائه شده در این شکل، تغییرشکل حاکم بر پایه‌های سنگریزه‌بی کوشی با طول‌های مختلف، از نوع نشست انتهای پایه است، که با افزایش طول پایه، کاهش تمایل به نشست انتهای و افزایش تمایل به تغییرشکل خمره‌بی مشاهده می‌شود. در هر دو گروه پایه‌های آزمایشی، با افزایش طول پایه‌ها، ظرفیت باربری پایه‌ها افزایش یافته است. همچنین، در شرایط مشابه (قطر و طول مساوی) پایه‌های بتی در مقایسه با پایه‌های سنگریزه‌بی کوشی، ظرفیت باربری مساوی بازه‌های بین $۸-۱۲$ و $۱۴-۱۶$ بوده است. جدول ۱، خلاصه‌ی از خصوصیات

نشان می‌دهد. برای اعمال نیروی فشاری به پایه‌های آزمایشی از یک جک به ظرفیت ۳۰ تن و فاصله‌ی حرکتی ۱۰m میلی‌متر و به منظور اندازه‌گیری نیرو از یک لودسل به ظرفیت ۱۰ تن و دقت $۵/۰$ کیلوگرم نیرو در حد فاصل بالای پیستون جک و وزیر تکیه‌گاه گاری استفاده شده است. برای اعمال بار به صورت محوری و حفظ بار در موقعیت مشخص و جلوگیری از انحراف بار در حین بارگذاری، قطعه‌ی چهارشاخ، طراحی و ساخته شده است. چهارشاخ در مرکز خود، یک استوانه‌ی فولادی به قطر داخلی $۵/۲$ میلی‌متر و طول ۲۰cm میلی‌متر داشت که با عبور شافت انتقال نیرو از داخل آن، به شافت اجازه‌ی انحراف در حین بارگذاری داده نمی‌شد. در عمل پس از استقرار صفحه‌ی بارگذاری روی پایه و اتصال شافت انتقال نیرو به آن، قطعه‌ی چهارشاخ با عبور شافت انتقال نیرو از داخل استوانه‌ی هادی شافت، به واسطه‌ی چهار خار انتهایی به داخل زمین کوبیده و تراز شده است.

طراحی سیستم بارگذاری به گونه‌ی بوده است که امکان کج‌شدن صفحه‌ی بارگذاری در حین اعمال بار وجود نداشت. لذا جایگایی صفحه فقط از طریق یک نشست‌ستج عقره‌بی اندازه‌گیری شده است. نشست بالای پایه توسط یک نشست‌ستج عقره‌بی با فاصله‌ی حرکتی ۱۰m میلی‌متر و دقت $۵/۰$ میلی‌متر و نشست انتهای پایه توسط یک نشست‌ستج عقره‌بی با فاصله‌ی حرکتی ۳۰m میلی‌متر و دقت $۵/۰$ میلی‌متر اندازه‌گیری شده است. جزئیات بیشتر این سیستم در مراجع [۸, ۹] ارائه شده‌اند.

۴. شناسایی خاک محل

به منظور شناسایی شرایط لایه‌های خاک ناحیه‌ی آزمایشی و تعیین مقادیر پارامترهای فیزیکی و مکانیکی خاک برای انجام محاسبات ظرفیت باربری و نشست پایه‌ها، آزمایش‌های درجا و آزمایشگاهی مختلفی انجام شده و نتایج نشان داده است که در محدوده‌ی عمق تا ۴m ، پس از برداشت لایه‌ی خاک هوارده‌ی ساحلی به ضخامت $۰/۰\text{m}$ ، ۳ لایه‌ی مطبق خاک شامل: لایه‌ی نازک لایی مرتبط با قوام سفت (MT)، به رنگ قهوه‌بی و ضخامت ۱m ، لایه‌ی رس نرم اشباع با قوام سفت و (CL) به رنگ زرد و ضخامت $۱/۴\text{m}$ ، و لایه‌ی رس نرم اشباع با قوام سفت و به رنگ خاکستری (CL) و ضخامت $۱/۶\text{m}$ بر صورت یکنواخت وجود دارد. در این مطالعه، آزمایش‌های درجا شامل آزمایش نفوذ استاندارد (SPT) و آزمایش‌های آزمایشگاهی شامل چگالی، طبقه‌بندی خاک، درصد رطوبت، حدود اتریگ، تحکیم یک بعدی، مقاومت فشاری تک محوری و برش مستقیم (DST) بوده است. نتایج تعداد ضربات N در آزمایش SPT در لایه‌های CL، CL و CL به ترتیب در بازه‌های $۸-۱۲$ ، $۱۴-۱۶$ و $۶-۸$ بوده است. جدول ۱، خلاصه‌ی از خصوصیات

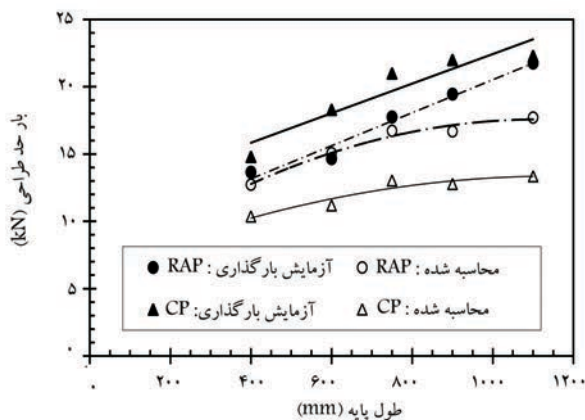


شکل ۴. منحنی های $\sigma_t - \delta_t$ و $q_t - \delta_b$ اندازه گیری شده در پایه های سنگریزه بی کوبشی و منحنی های $\sigma_t - \delta_t$ اندازه گیری شده در پایه های بتونی در جاریز برای پایه های به قطر اسمی ثابت ۱۳۵ میلی متر و طول های ۴۰۰ تا ۱۱۰۰ میلی متر.

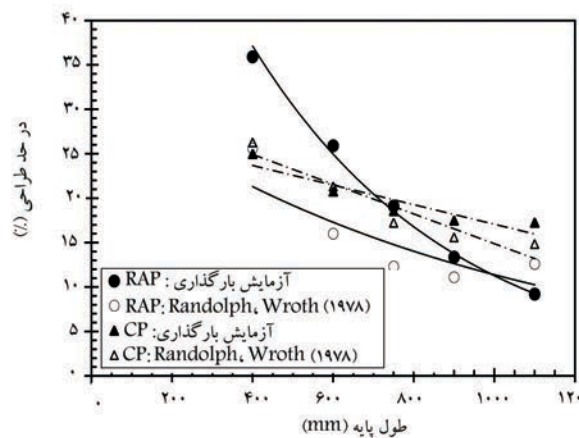
حسب طول این پایه ها در دو گروه پایه های سنگریزه بی کوبشی و پایه های بتونی در جاریز نشان می دهد. همان طور که در شکل مذکور مشاهده می شود، در پایه های سنگریزه بی کوبشی با افزایش طول پایه ها مدول سختی پایه ها، سیر صعودی دارند. در حالی که در پایه های بتونی در بازه هی طول ۴۰۰-۷۵۰ میلی متر، سیر صعودی و در بازه هی طول ۹۰۰-۱۱۰۰ میلی متر، سیر نزولی دارند. کاهش مقادیر مدول سختی پایه های بتونی در بازه هی طول ۹۰۰-۱۱۰۰ میلی متر به دلیل استقرار انتهای پایه در مرز لایه های MT و CT و کاهش مقاومت انتهای پایه است. عدم کاهش مقادیر مدول سختی پایه ها در بازه هی طول ۹۰۰-۱۱۰۰ میلی متر در پایه های سنگریزه بی کوبشی نیز به دلیل تمایل بیشتر به تغییر شکل خمره بی و انتقال بار جزتی به انتهای

۲.۵. مدول سختی پایه ها

برای تعیین مدول سختی پایه های آزمایشی از صفحه هی بارگذاری فولادی با قطری برابر قطر اسمی پایه ها استفاده شده است. براساس NAVFAC DM-7/1 (۱۹۸۲) مقدار مدول سختی پایه حاصل از آزمایش بارگذاری به این صورت به دست می آید که پس از رسم منحنی تنش فشاری در مقابل نشست، نقطه نظری تنش حد طراحی تعیین می شود. سپس تنش و نشست متناظر با نصف تنش حد طراحی مشخص می شود. خارج قسمت تقسیم تنش فشاری بر نشست به دست آمده مدول سختی پایه خواهد بود. شکل ۵، مقایسه هی نتایج مدول سختی پایه های آزمایشی بر



شکل ۶. مقایسه نتایج بار حد طراحی اندازه‌گیری شده و نتایج محاسبه شده بر حسب طول پایه‌ها در دو گروه پایه‌های سنگریزه‌بی کوبشی و پایه‌های بتنی در جاریز.

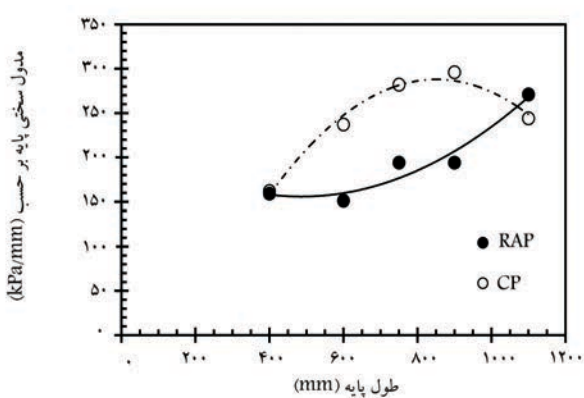


شکل ۷. مقایسه نتایج نسبت بار در حد طراحی (نسبت بار انتهای پایه به بار اعمالی در بالای پایه) اندازه‌گیری شده و نتایج محاسبه شده بر حسب طول پایه‌ها، در دو گروه پایه‌های سنگریزه‌بی کوبشی و پایه‌های بتنی در جاریز.

قطر پایه‌های سنگریزه‌بی کوبشی در حین ساخت و عدم افزایش آنها در پایه‌های بتنی مربوط است.

۶. نسبت بار انتهای به بار بالای پایه‌ها در حد طراحی

منحنی‌های تغییرات نسبت بار (در حد طراحی) انتهای به بار اعمالی در بالای پایه‌ها (P_e/P_t) در دو حالت اندازه‌گیری شده و محاسبه شده بر حسب طول پایه‌های آزمایشی برای دو گروه پایه‌های سنگریزه‌بی کوبشی و بتنی در جاریز با قطر ثابت ۱۳۵ میلی‌متر و طول‌های ۴۰۰، ۶۰۰، ۷۵۰، ۹۰۰، ۱۱۰۰ و ۱۳۵ میلی‌متر در شکل ۷ نشان داده شده‌اند. نحوه محاسبه بار انتقالی به انتهای پایه براساس راه حل Randolph, Wroth (۱۹۷۸) [۱۱۹] تشریح شده است. در شکل مذکور، بار اعمالی در بالای پایه‌ها در دو حالت اندازه‌گیری شده و محاسبه شده یکسان در نظر گرفته شده است. برای پایه‌های آزمایشی با قطر ثابت ۱۳۵ میلی‌متر و طول‌های ۳۵۰، ۵۰۰، ۷۰۰، ۸۵۰ و ۱۰۰۰ میلی‌متر نسبت بار (در حد طراحی) اندازه‌گیری شده برای نوع سنگریزه‌بی کوبشی و بتنی در جاریز (در حد طراحی) اندازه‌گیری شده برای نوع سنگریزه‌بی کوبشی به ترتیب برابر ۳۵/۹، ۲۵/۹، ۱۹/۱، ۲۵/۹ و ۱۹/۱ درصد بار حد طراحی اندازه‌گیری شده در هر دو گروه پایه‌های آزمایشی با افزایش طول پایه‌ها، روند افزایشی دارند. بار حد طراحی اندازه‌گیری شده در پایه‌های بتنی نیز به طور میانگین ۱/۱ برابر مقادیر نظری در پایه‌های سنگریزه‌بی کوبشی است. همچنان، بار حد طراحی محاسبه شده برای نوع سنگریزه‌بی کوبشی به ترتیب برابر ۱۲/۷۸، ۱۲/۳۵ و ۱۲/۳۵ کیلونیوتون و برای نوع بتنی در جاریز به ترتیب برابر ۱۷/۷۱، ۱۷/۷۱ و ۱۷/۷۱ کیلونیوتون است. مطابق این شکل، بار حد طراحی اندازه‌گیری شده در هر دو گروه پایه‌های آزمایشی با افزایش طول پایه‌ها، روند افزایشی دارند. بار حد طراحی اندازه‌گیری شده در پایه‌های بتنی نیز به طور میانگین ۱/۱ برابر مقادیر نظری در پایه‌های سنگریزه‌بی کوبشی است. همچنان، بار حد طراحی محاسبه شده به ترتیب برای پایه‌های میانگین ۹۰ و ۶۰ درصد بار حد طراحی اندازه‌گیری شده به افزایش طول پایه‌ها سنگریزه‌بی کوبشی و پایه‌های بتنی است. علت این تفاوت تا حد زیادی به افزایش

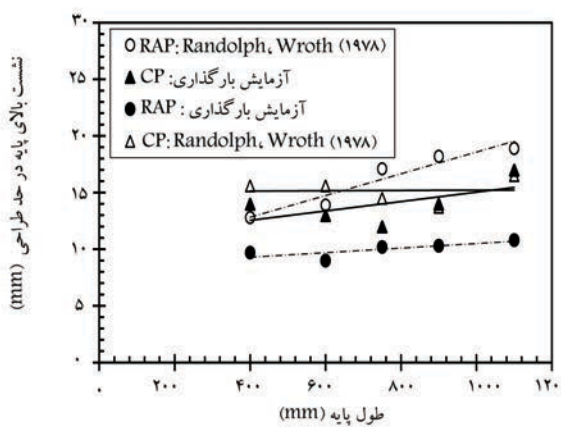


شکل ۵. مقایسه نتایج مدول سختی پایه‌ها بر حسب طول پایه‌ها در دو گروه پایه‌های سنگریزه‌بی کوبشی و پایه‌های بتنی در جاریز.

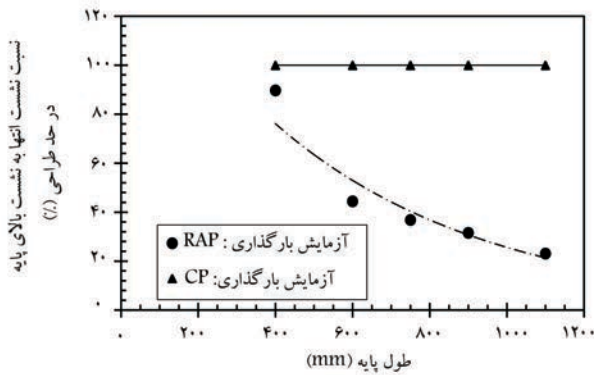
این پایه‌هاست. انطباق مقادیر مدول سختی دو پایه‌ی سنگریزه‌بی کوبشی و بتنی به ازاء طول ۴۰۰ میلی‌متر به دلیل کوتاهی‌ودن طول پایه و حاکم‌بودن نشست انتهایها کامل بر پایه‌ی سنگریزه‌بی کوبشی است. به طور میانگین بر مبنای این نتایج، مقادیر مدول سختی پایه‌های بتنی، ۱/۲۵ برابر مقادیر نظری در پایه‌های سنگریزه‌بی کوبشی هستند. البته این به معنای بیشتر بودن مدول سختی مرکب بستر خاک پایه‌های بتنی نسبت به مدول سختی مرکب بستر خاک پایه‌های سنگریزه‌بی کوبشی نیست. چون مدول سختی توده‌ی خاک بین پایه‌های سنگریزه‌بی کوبشی به علت اجرای این پایه‌ها افزایش می‌یابد، در حالی که برای توده‌ی خاک بین پایه‌های بتنی افزایش وجود ندارد.

۶. مقایسه پارامترهای اندازه‌گیری شده با پارامترهای تحلیلی ۶.۱. بار حد طراحی پایه‌ها

تغییرات بار حد طراحی (P_d) اندازه‌گیری شده و محاسبه شده بر حسب طول پایه‌های آزمایشی برای دو گروه پایه‌های سنگریزه‌بی کوبشی و بتنی در جاریز با قطر ثابت ۱۳۵ میلی‌متر و طول‌های ۴۰۰، ۶۰۰، ۷۵۰، ۹۰۰ و ۱۱۰۰ میلی‌متر در شکل ۶ نشان داده شده‌اند. نحوه محاسبه بار حد طراحی پایه‌ها براساس تئوری‌های رایج، به خوبی در مرجع [۱۱] تشریح شده است. برای پایه‌های آزمایشی با قطر ثابت ۱۳۵ میلی‌متر و شده‌اند. نحوه محاسبه بار حد طراحی پایه‌ها براساس تئوری‌های رایج، به خوبی در مرجع [۱۱] تشریح شده است. همچنین برای همین پایه‌ها، بار حد طراحی محاسبه شده برای نوع سنگریزه‌بی کوبشی به ترتیب برابر ۱۳۵/۴۵، ۱۷/۷۵، ۱۴/۶۵، ۱۳/۶۵ و ۱۲/۷۱ کیلونیوتون و برای نوع بتنی در جاریز به ترتیب برابر ۱۱/۱۹، ۱۰/۳۶، ۱۱/۰۴، ۱۳/۰۴ و ۱۲/۷۸ کیلونیوتون است. همچنان، برای نوع بتنی در جاریز به ترتیب برابر ۱۶/۶۸، ۱۶/۷۲، ۱۵/۰۶، ۱۲/۷۳ و ۱۱/۰۶ کیلونیوتون و برای نوع بتنی در جاریز به ترتیب برابر ۱۷/۷۱ و ۱۷/۷۱ کیلونیوتون است. مطابق این شکل، بار حد طراحی اندازه‌گیری شده در هر دو گروه پایه‌های آزمایشی با افزایش طول پایه‌ها، روند افزایشی دارند. بار حد طراحی اندازه‌گیری شده در پایه‌های بتنی نیز به طور میانگین ۱/۱ برابر مقادیر نظری در پایه‌های سنگریزه‌بی کوبشی است. همچنان، بار حد طراحی محاسبه شده به ترتیب برای پایه‌های میانگین ۹۰ و ۶۰ درصد بار حد طراحی اندازه‌گیری شده به افزایش طول پایه‌ها سنگریزه‌بی کوبشی و پایه‌های بتنی است. علت این تفاوت تا حد زیادی به افزایش



شکل ۸. مقایسه‌ی نتایج اندازه‌گیری شده‌ی نیست بالای پایه و نتایج محاسبه‌شده در حد طراحی بر حسب طول پایه‌ها در دو گروه پایه‌های سنگریزه‌بی کوبشی و پایه‌های بتنی در درجایز.



شکل ۹. مقایسه‌ی نتایج نسبت نیست اندازه‌گیری شده در حد طراحی (نیست انتهای به نیست بالای پایه) بر حسب طول پایه‌ها در دو گروه پایه‌های سنگریزه‌بی کوبشی و پایه‌های بتنی درجایز.

۷. نتیجه‌گیری

در این پژوهش به منظور مقایسه‌ی رفتار پایه‌های سنگریزه‌بی کوبشی با پایه‌های بتنی درجایز تحت بارگذاری فشاری، نتایج آزمایش بارگذاری ۵ پایه‌ی سنگریزه‌بی کوبشی با ۵ پایه‌ی بتنی درجایز با قطر ثابت ۱۳۵ میلی‌متر و طول‌های ۴۰۰، ۶۰۰، ۷۵۰، ۸۵۰، ۹۰۰ و ۱۰۰۰ میلی‌متر و پایه‌ی سنگریزه‌بی کوبشی در بازه‌ی ۱۲,۸-۱۸,۹ میلی‌متر و پایه‌ی نیست در بازه‌ی ۹-۱۰,۸ میلی‌متر و بازه‌ی ۱۲-۱۷ میلی‌متر است. همچنین برای همین پایه‌ها، نیست محاسبه‌شده‌ی بالای پایه برای نیست سنگریزه‌بی کوبشی در بازه‌ی ۱۲,۸-۱۸,۹ میلی‌متر و پایه‌ی نیست درجایز در بازه‌ی ۱۳,۷-۱۶,۵ میلی‌متر می‌باشد.

نتایج بدست‌آمدۀ از این مطالعه به طور خلاصه عبارت‌اند از:

- مقادیر مدول سختی پایه‌های بتنی به طور میانگین، ۱/۲۵ برابر مقادیر نظری در پایه‌های سنگریزه‌بی کوبشی است. چنان‌چه طول پایه خیلی کوتاه با انتهای پایه‌ی بتنی روی خاک ضعیف قرار گیرد، مدول سختی پایه‌ی بتنی می‌تواند برابر با کمتر از مقدار نظری در پایه‌ی سنگریزه‌بی کوبشی باشد. البته این به معنای بیشتر بودن مدول سختی مرکب بستر خاک پایه‌های بتنی نسبت به مدول سختی مرکب بستر خاک پایه‌های سنگریزه‌بی کوبشی نیست.

بر حد طراحی اندازه‌گیری شده در پایه‌های بتنی به طور میانگین، ۱/۱ برابر مقدار نظری در پایه‌های سنگریزه‌بی کوبشی است.

نسبت بار (در حد طراحی) محاسبه‌شده برای نوع سنگریزه‌بی کوبشی به ترتیب برابر ۱۱/۱، ۱۲/۳، ۱۶، ۲۵/۶، ۱۲/۶ و ۱۱/۱ درصد و برای نوع بتنی درجایز به ترتیب برابر ۲۶/۳، ۲۱/۳، ۱۷/۲، ۱۵/۶ و ۱۴/۸ درصد است. همان‌طور که در شکل ۷ مشاهده می‌شود، به ازاء طول پایه‌های بتنی بیشتر از پایه‌های بتنی و به ازاء طول پایه‌های سنگریزه‌بی کوبشی می‌تواند به عمل تغییر پایه‌های بتنی در پایه‌های سنگریزه‌بی کوبشی می‌تواند به عمل تغییر پایه‌های بتنی در پایه‌های سنگریزه‌بی کوبشی است. این مسئله در پایه‌های سنگریزه‌بی کوبشی در تغییرات فوکانی پایه و انتقال کم بار به انتهای پایه باشد. به عبارت دیگر، با افزایش طول پایه‌ها میزان کاهش نیست بار در پایه‌های سنگریزه‌بی کوبشی در مقایسه با پایه‌های بتنی بیشتر است. همچنین برای پایه‌های این مشاهده‌ها، برای پایه‌های بتنی در مقایسه با پایه‌های سنگریزه‌بی کوبشی، نسبت‌های بار محاسبه‌شده بر مبنای راه حل Randolph, Wroth با نسبت‌های بار اندازه‌گیری شده انتظام بسیار خوبی را نشان می‌دهند.

۳.۶. نیست حد طراحی در بالای پایه‌ها

تغییرات اندازه‌گیری شده و محاسبه‌شده نیست حد طراحی (۳.۶) بر حسب طول پایه‌های آزمایشی برای دو گروه پایه‌های سنگریزه‌بی کوبشی و بتنی درجایز با قطر ثابت ۱۳۵ میلی‌متر و طول‌های ۴۰۰، ۶۰۰، ۷۵۰، ۹۰۰ و ۱۱۰۰ میلی‌متر در شکل ۸ نشان داده شده‌اند. تجویه محاسبه‌ی بار انتقالی به انتهای پایه براساس راه حل Randolph, Wroth (۱۹۷۸)، به خوبی در مراجع [۱۱۰۹] تشریح شده است. برای پایه‌های آزمایشی با قطر ثابت ۱۳۵ میلی‌متر و طول‌های ۳۵۰، ۵۵۰، ۷۵۰، ۸۵۰ و ۱۰۰۰ میلی‌متر، نیست اندازه‌گیری شده‌ی بالای همین پایه‌ها، نیست محاسبه‌شده‌ی بالای پایه برای نیست سنگریزه‌بی کوبشی در بازه‌ی ۹-۱۰,۸ میلی‌متر و نیست در بازه‌ی ۱۲-۱۷ میلی‌متر است. همچنین برای همین پایه‌ها، نیست مجاور نیست در پایه‌های سنگریزه‌بی کوبشی هستند. همان‌طور که در این شکل مشاهده می‌شود، برای پایه‌های بتنی در مقایسه با پایه‌های سنگریزه‌بی کوبشی، نیست محاسبه‌شده در بالای پایه بر مبنای راه حل Randolph, Wroth با نیست نظری اندازه‌گیری شده انتظام نسبتاً خوبی را نشان می‌دهند.

۴. نسبت نیست انتهای به نیست بالای پایه‌ها در حد طراحی

شکل ۹، مقایسه‌ی نتایج نیست اندازه‌گیری شده نیست در حد طراحی (نیست انتهای به نیست بالای پایه) بر حسب طول پایه‌ها را برای دو گروه پایه‌های آزمایشی نشان می‌دهد. همان‌طور که در این شکل مشاهده می‌شود، در پایه‌های بتنی به عمل صلب‌بودن این پایه‌ها، نیست نیست انتهای به نیست بالای پایه برای ۱ است. این در حالی است که در پایه‌های سنگریزه‌بی کوبشی این نیست نیست در حد طراحی برای پایه‌های با طول ۴۰۰، ۶۰۰، ۷۵۰، ۹۰۰ و ۱۱۰۰ میلی‌متر به ترتیب برابر ۷/۷، ۸/۹، ۹/۱، ۱۰/۳ و ۱۱/۲ نیست است. این بهوضوح مزیت پایه‌های سنگریزه‌بی کوبشی را نسبت به پایه‌های بتنی در خاک دوازده قوی روی خاک ضعیف نیست.

نیان می‌دهد.

- نشست بالای پایه‌های بتنی در حد طراحی به‌طور میانگین، ۱/۴ برابر مقادیر نظری در پایه‌های سنگریزه‌بی کوبشی است.
- در مقایسه با پایه‌های سنگریزه‌بی کوبشی، نشست محاسبه شده در بالای پایه‌های بتنی بر مبنای راه حل Randolph, Wroth با نشست نظیر اندازه‌گیری شده، انطباق بهتری را نشان می‌دهد.
- در مقایسه با پایه‌های سنگریزه‌بی کوبشی (نسبت لاغری کمتر از ۵)، میزان انتقال بار به انتهای پایه در پایه‌های سنگریزه‌بی کوبشی، بیشتر از پایه‌های بتنی و در پایه‌های بلند برعکس است. همچنین، با افزایش طول پایه‌ها میزان کاهش نسبت بار در پایه‌های سنگریزه‌بی کوبشی در مقایسه با پایه‌های بتنی بیشتر است.
- در مقایسه با پایه‌های سنگریزه‌بی کوبشی، نسبت‌های بار (بار

تقدیر و تشکر

به جهت حمایت شرکت مهندسان مشاور فناوران بی آسیا در بخش ساخت و آزمایش پایه‌های بتنی در جاریین، از هیأت مدیره‌ی این شرکت صمیمانه قدردانی می‌شود.

منابع (References)

1. Lawton, E.C. and Warner, B.J. "Performance of a group of Geopier elements loaded in compression compared to single Geopier elements and unreinforced soil", Final Rep., Rep. No. UUCVFE N 04-12, Univ. of Utah, Salt Lake City (2004).
2. Farrell, T. and Taylor, A. "Rammed aggregate pier design and construction in California; Performance, constructability, and economics", *Structural Engineers Association of California Convention Proceedings, Placerville, CA. and Liquefied Behavior, Journal Geotech. Geoenviron. Engineering*, **132**(1), pp. 54-62 (2004).
3. White, D.J., Gaul, A.J. and Hoevelkamp, K. "Highway applications for rammed aggregate pier in Iowa soils", Final Rep., Iowa DOT TR-443, Ames, Iowa (2003).
4. White, D.J. and Suleiman, M.T. "Design of short aggregate piers to support highway embankments", Transportation Research Record 1868, Transportation Research Board, Washington, D.C., pp. 103-112 (2005).
5. Lawton, E.C. and Fox, N.S. "Settlement of structures supported on marginal or inadequate soils stiffened with short aggregate piers", *Vertical and Horizontal Deformations of Foundations and Embankments*, ASCE,
- Geotechnical Special Publication, **2**(40), pp. 962-974 (1994).
6. Wissmann, K.J., Shields, C.S. and FitzPatrick, B.T. "Modulus load test results for rammed aggregate piers™ in granular soils", *Journal Geotech. Geoenviron. Eng.*, **124**, pp. 460-472 (2004).
7. Razeghi, H.R., Niroumand, B., Ghiassian, H. and Mansourzadeh, M. "A field study on the behavior of single rammed aggregate piers toward changes the diameter", *Sharif Journal, Civil Eng.*, **282**(4), pp. 95-103 (2012).
8. Razeghi, H.R., Niroumand, B. and Ghiassian, H. "A field study of the behavior of small-scale single rammed aggregate piers, testing methodology, interpretation", *Scientia Iranica*, **18**(6), pp. 1198-1206 (December 2011).
9. Suleiman, M.T. and White, D.J. "Load transfer in rammed aggregate piers", *International Journal of Geomechanics*, **6**(6), pp. 389-398 (December 2006).
10. Randolph, M.F. and Wroth, C.P. "Analysis of deformation of vertically loaded piles", *J. Geotech. Eng. Div.*, **104**(12), pp. 1465-1488 (1978).
11. Razeghi, H.R., Niroumand, B., Ghiassian, H. and Mansourzadeh, M. "Comparison of experimental and analytical results in rammed aggregate piers with variable diameters", *Transportation Research Journal*, **1**, pp. 75-88 (2011).